



عوامل محرك تغییرات ترشوندگی در سطوح آبگریز و ابرآبگریز

ستاره شجاع^۱، سعید رستگار^{*۲}

۱-دانشجوی کارشناسی ارشد، دانشکده مهندسی پلیمر و رنگ، دانشگاه صنعتی امیرکبیر، تهران، ایران، صندوق پستی: ۱۵۸۷۵-۴۴۱۳

۲-استادیار، دانشکده مهندسی پلیمر و رنگ، دانشگاه صنعتی امیرکبیر، تهران، ایران، صندوق پستی: ۱۵۸۷۵-۴۴۱۳

تاریخ دریافت: ۹۴/۷/۱۶ تاریخ بازبینی نهایی: ۹۴/۱۰/۱۳ تاریخ پذیرش: ۹۴/۱۰/۱۳ در دسترس بهصورت الکترونیک: ۹۴/۱۰/۱۹

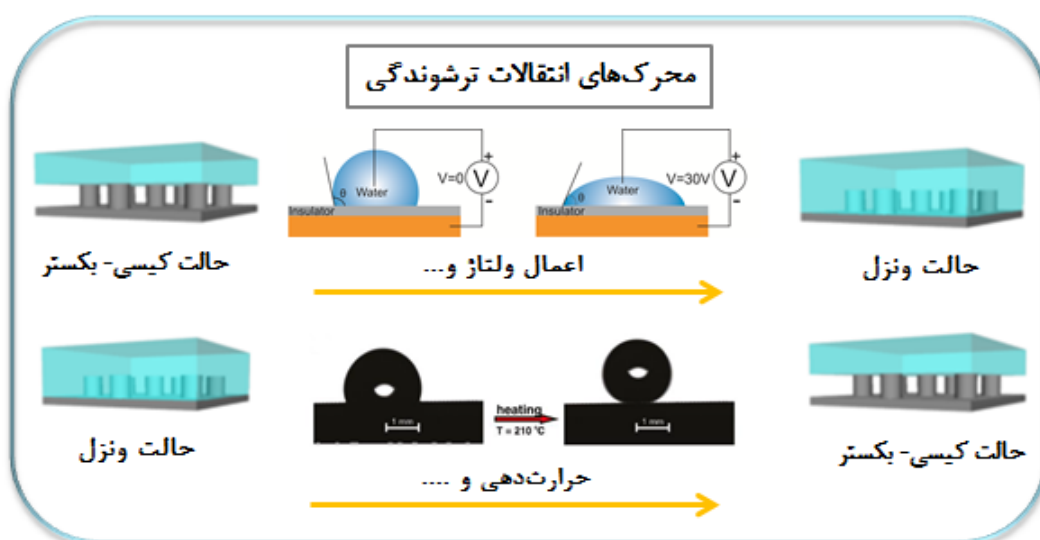
چکیده

امروزه سطوح ابرآبگریز به علت کاربردهای منحصر به فردشان دارای کاربردهای صنعتی قابل توجهی هستند. از جمله کاربردهای این مواد می‌توان به سطوح خودتمیز شونده، سطوح یخگریز و سطوح ضدخره اشاره نمود. سطوح ابرآبگریز می‌توانند با استفاده از اعمال پوشش‌های آبگریز، زبری‌های سطحی و ایجاد بسته‌های هوا در بین سطح جامد و مایع به وجود آیند. کنترل دینامیکی برهم‌کنش قطره با سطح آبگریز که شامل بهبود زاویه تماس، کنترل حرکت قطره و میزان نفوذ مایع به داخل سطح ابرآبگریز می‌باشد، کاربردهای فراوانی دارد. یکی از پدیده‌های پراهمیتی که بر روی سطوح رخ می‌دهد، انتقالات ترشوندگی می‌باشد. اطلاع از سازوکار فیزیکی این انتقالات ترشوندگی و نحوه عملکرد محرك‌های آن جهت طراحی سطوح ابرآبگریز با پایداری بالا بسیار پراهمیت می‌باشد.

واژه‌های کلیدی

سطوح ابرآبگریز، زاویه تماس، رژیم‌های ترشوندگی، محرك‌های انتقالات ترشوندگی.

چکیده تصویری





Wetting Transition Stimuli of Hydrophobic and Superhydrophobic Surfaces

Setareh Shoja, Saeed Rastegar*

Department of Polymer Engineering and Color Technology, Amirkabir University of Technology, P.O. Box: 15875-4413, Tehran, Iran.

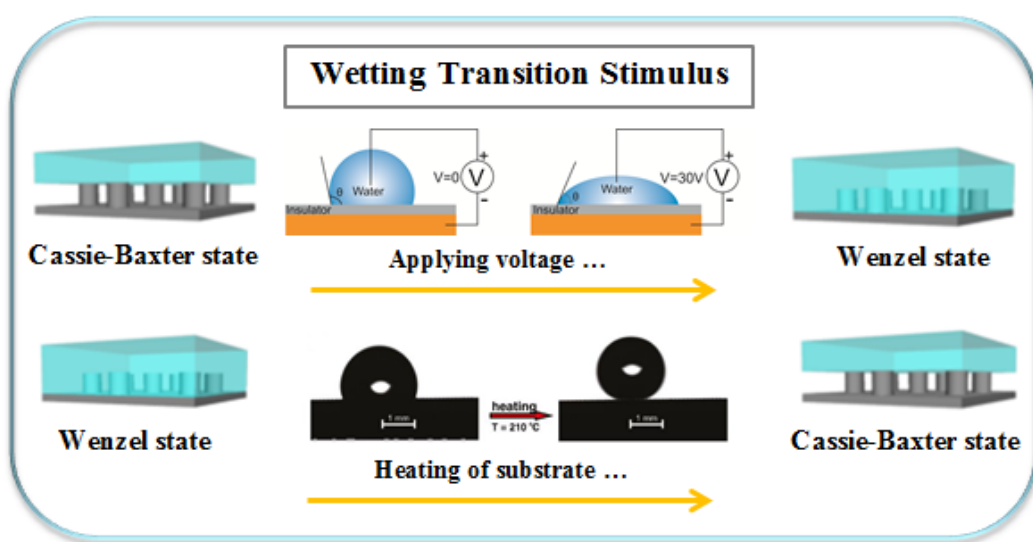
Abstract

Nowadays superhydrophobic surfaces have great technological potentials due to their significant properties. Surfaces such as self-cleaning, icephobic or anti-fouling ones are some examples of these systems. Superhydrophobic surfaces can be achieved through hydrophobic coatings, surface roughness and creation of air pockets between the surface of the solid and liquid. Dynamic control of the droplet interactions with these hydrophobic surfaces such as improving the contact angle, controlling the droplet movement and the amount of liquid penetration into the hydrophobic surface has lots of application. Wetting transition is one of the most important phenomena that can occur on rough surfaces. Understanding the physical mechanism of these transitions and the stimuli which can cause them has great importance for designing the superhydrophobic surfaces with high stability.

Keywords

Superhydrophobic surfaces, Contact angle, Wetting regimes, Wetting transitions stimuli.

Graphical abstract



*Corresponding author: s.rastegar@aut.ac.ir

۱- مقدمه

می‌گیرد، که تحت عنوان رژیم تر شده^۵ خوانده می‌شود. در این مدل زاویه تماس ظاهری از رابطه ۲ حاصل می‌شود.

$$\cos \theta_r^w = r \cos \theta_e \quad (2)$$

که ۲ در این رابطه عامل زبری و نزل می‌باشد و به شکل نسبت مساحت واقعی سطح زبر به مساحت اشغال شده هندسی می‌باشد، که همواره بزرگتر از یک می‌باشد. با توجه به این فرمول نشان داده می‌شود که زبری‌های سطحی می‌توانند آبدوستی یا آبگریزی سطح را بهبود بخشنند. مدل دوم توسط کیسی و بکستر^۶ در سال ۱۹۴۴ [۴] ارائه گردید که بر اساس این مدل قطره بر روی کامپوزیتی از هوا و سطح جامد قرار می‌گیرد که تحت عنوان رژیم کامپوزیت^۷ نیز خوانده می‌شود. زاویه تماس ظاهری در این حالت با استفاده از رابطه ۳ به دست می‌آید.

$$\cos \theta_r^c = \varphi_s (1 + \cos \theta_e) - 1 \quad (3)$$

که در این رابطه φ_s کسری از سطح که در تماس با مایع است، می‌باشد. این رابطه‌ها که از کمینه‌سازی انرژی سطحی قطره قرار گرفته بر روی سطح زبر به دست می‌آیند، بالا رفتن زاویه تماس صادق می‌باشند. میزان آستانه^۸ از برابر قرار دادن این دو رابطه به شکل رابطه ۴ به دست می‌آید.

$$\cos \theta_c = \frac{\varphi_s - 1}{r - \varphi_s} \quad (4)$$

این مقدار به طور قطع دارای عددی در محدوده ۰ تا ۱ می‌باشد. با توجه به شکل ۱ که زاویه تماس ظاهری را بر حسب زاویه تماس به دست آمده از رابطه یانگ نشان می‌دهد، می‌توان بیان نمود که رژیم کیسی-بکستر تنها در حالتی پایدار است که^۹ بزرگتر از θ_e θ_c باشد. بنابراین برای یک ماده ابرآبگریز هرچه این حد آستانه θ_c کوچکتر باشد، جلوگیری از انتقالات ترشوندگی که منجر به چسبندگی (درگیر شدن^{۱۰}) قطره بر روی سطح می‌شود، امکان پذیرتر می‌باشد. اما با بررسی عوامل مؤثر بر این مشخصه می‌توان دریافت که دستیابی به شرط بالا امری ساده نمی‌باشد و با بالا بردن میزان^{۱۱} ۲ حاصل می‌شود که این شرط در برگ گیاهان ابرآبگریز صادق می‌باشد [۵].

ترشوندگی از قابلیت‌های یک ماده جهت ایجاد سطح تماس با یک جامد می‌باشد که از برهمکنش‌های بین مولکولی دو ماده ناشی می‌شود. در واقع درجه ترشوندگی از موازنی بین نیروهای چسبندگی^۱ و پیوستگی^۲ ناشی می‌شود. به طور کلی رفتار یک قطره بر روی سطح به دو ویژگی از سطح جامد وابسته است: ۱) انرژی سطحی جامد که از برهمکنش مولکولی‌ای سطحی ناشی می‌شود^۳ ۲) زبری سطح و توپوگرافی آن [۱]. زاویه تماس یک قطره آب بر روی سطح یکی از عوامل مهم در تعیین میزان ترشوندگی سطح می‌باشد. در صورتی که کشش سطحی یک مایع بیشتر از کشش سطحی بحرانی یک جامد باشد، مایع به صورت یک قطره بر روی آن سطح شکل می‌گیرد. زاویه تماس یک قطره بر روی سطح یک جامد هموار اولین بار توسط یانگ در سال ۱۸۰۵ به شکل رابطه ۱ بیان گردید.

$$\cos \theta_e = \frac{\gamma_{sv} - \gamma_{sl}}{\gamma_{lv}} \quad (1)$$

که در این رابطه γ_{sv} انرژی سطحی جامد در تعادل با فاز بخار، γ_{lv} کشش سطحی مایع در تعادل با فاز بخار و γ_{sl} کشش بین سطحی جامد-مایع می‌باشد. سطوح جامد بر اساس زاویه تماس قطره آب بر روی سطح‌هایان به چند دسته مختلف سطوح آبدوست، آبگریز و یا ابرآبدوست و ابرآبگریز تقسیم‌بندی می‌شوند. سطوح جامدی که زاویه تماس قطره آب بر روی آنها بزرگتر از 150° باشد، تحت عنوان سطوح ابرآبگریز شناخته می‌شوند. اخیراً سطوح ابرآبگریز مصنوعی با الهام از سطوح ابرآبگریز موجود در طبیعت از جمله برگ گیاه نیلوفر آبی، پوشش بدن برخی جانداران و یا پای برخی حشرات بسیار توسعه یافته‌اند. وجود ساختارهای زبر سلسله‌مراتبی در مقیاس میکرو/نانو برگ گیاه نیلوفر آب به همراه انرژی سطحی پایین آن منجر به ابرآبگریزی این سطوح گردیده است و با توجه به این نکته که اولین بار این اثر در برگ گیاه نیلوفر آبی دیده شد، ابرآبگریزی تحت عنوان اثر نیلوفر آبی^{۱۲} نیز شناخته می‌شود [۲].

همان‌طور که بیان شد که زاویه تماس قطره آب بر روی یک سطح هموار از 120° بالاتر نمی‌رود، بنابراین برای رسیدن به یک سطح ابرآبگریز تنها انرژی سطحی پایین جامد کافی نمی‌باشد، بلکه نشان داده شده است که زبری‌های سطحی نیز نقش مهمی را در آبگریزی ایفا می‌کنند. بنابراین دو مدل برای توصیف زاویه تماس قطره مایع بر روی سطح زبر ارائه گردید. مدل اول توسط نزل^{۱۳} در سال ۱۹۳۶ [۳] ارائه گردید که در این حالت ترشوندگی کامل حفره‌های سطحی توسط قطره مایع صورت

¹ Adhesive Forces

² Cohesive Forces

³ Lotus Effect

⁴ Wenzel

⁵ Wetted Regime

⁶ Cassie-Baxter

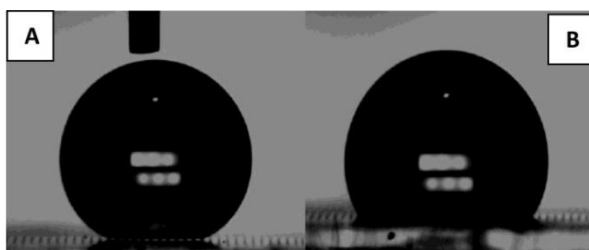
⁷ Composite Regime

⁸ Pinning

مقاله

افزایش می‌یابد و در نتیجه منجر به افزایش چسبندگی قطره به سطح و افزایش اصطکاک بین قطره و سطح می‌شود. بنابراین اطلاع از سازوکار انتقالات ترشوندگی و عوامل مؤثر بر این پدیده از اهمیت ویژه‌ای در کاربرد این سطوح برخوردار است [۱۳، ۱۶]. در ادامه در رابطه با هر کدام از محرک‌های این دسته از انتقالات ترشوندگی به طور مجزا توضیحاتی ارائه می‌شود.

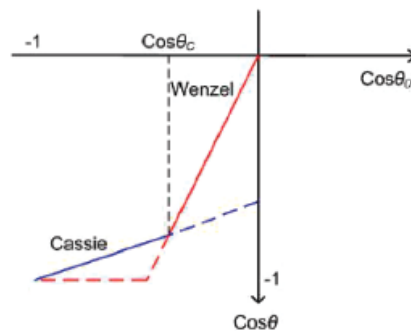
- قراردهی قطره از یک فاصله معین بر روی سطح: براساس آنالیز پاتانکار^۱ هر دو حالت ترشوندگی ونzel و کیسی-بکستر می‌توانند بر روی یک سطح زبر وجود داشته باشند و این مسئله به نحوه تشکیل قطره بر روی سطح وابسته است. مطابق شکل ۳ هنگامی که قطره از یک فاصله معین بر روی سطح پرتاب شود در مقایسه با حالتی که به آرامی بر روی سطح قرار گیرد، حالت‌های ترشوندگی متفاوتی دیده می‌شود. در واقع با پرتاب کردن قطره از یک فاصله معین بر روی سطح می‌توان به سد انرژی بین دو حالت ونzel و کیسی-بکستر غلبه نمود [۷، ۸].



شکل ۳- اثر قراردهی قطره از یک فاصله معین بر روی سطح، A- قرار دادن قطره به آرامی و در نزدیکی سطح B- قرار دادن قطره از یک فاصله معین بر روی سطح [۷].

- اعمال فشار و یا نیروی خارجی: جهت اعمال فشار بر روی قطره دو تئوری در نظر گرفته می‌شود:
 - (۱) تغییر اندازه قطره: بر اساس قانون لایاس هرچه یک قطره کوچک‌تر شود، فشار داخلی آن افزایش می‌یابد، بنابراین با کوچک‌کردن شعاع قطره تا حدود 0.9 میلی‌متر می‌توان فشار را تاحدود 150 پاسکال بالا برد.
 - (۲) فشرده سازی قطره بین دو پس زمینه مشابه: مطابق شکل ۴ برای دست‌یابی به فشارهای بالا تر قطره بین دو صفحه مشابه فشرده می‌گردد. نتایج نشان می‌دهد که با افزایش فشار از یک مقدار معین قطره به داخل ساختارهای سطحی نفوذ کرده و وارد رژیم ونzel می‌شود [۵].

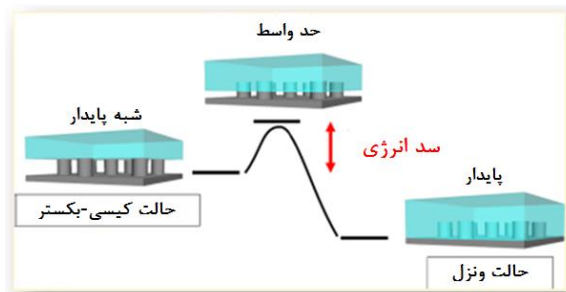
^۱ Patankar



شکل ۱- زاویه تماس ظاهری بر حسب زاویه تماس یاتگ [۵].

۲- انتقالات ترشوندگی

به طور کلی انتقالات ترشوندگی بر اساس جهت رخ دادنشان به دو دسته انتقال از حالت کیسی-بکستر به ونzel و حالت ونzel به کیسی-بکستر تقسیم می‌شوند که به واسطه سدهای انرژی از هم جدا شده‌اند (شکل ۲)، در ادامه به توضیحاتی در رابطه با هر یک از این انتقالات و محرک‌های مؤثر بر روی آنها پرداخته می‌شود.



شکل ۲- سد پتانسیلی جدکننده دو حالت ترشوندگی کیسی-بکستر و ونzel [۶].

- (۱) انتقال از حالت کیسی-بکستر به ونzel: تا کنون مقالات متعددی در این زمینه ارائه شده است. این انتقالات می‌توانند تحت تأثیر عوامل متفاوتی از جمله نحوه تشکیل قطره بر روی سطح (قراردهی قطره از یک فاصله معین بر روی سطح) و یا محرک‌های خارجی از جمله اعمال فشار و یا نیروی خارجی، اعمال ولتاژ و ارتعاشات پس زمینه باشد. هر یک از این محرک‌ها بر سد انرژی موجود بین دو حالت ترشوندگی کیسی-بکستر و نزول غلبه می‌کنند [۱۲-۷]. در مورد یک سطح با خاصیت ابرآبرگزیزی در صورتی که ساختارهای سطحی توسط مایع پر شود، آن سطح خاصیت ابرآبرگزیزی خود را از دست می‌دهد، که این نکته یکی از نقاط ضعف سطوح ابرآبرگزیز می‌باشد. هم چنین در این حالت به علت درگیر شدن خط تماس سه گانه قطره با سطح، پسماند زاویه تماس



شکل ۴- شماتیک از فشرده سازی قطره بین دو پس زمینه مشابه و انتقال حالت ترشوندگی آن [۵].

اند. به طور قطع در این مورد برای رفتن به حالت ونzel مایع باید حفره‌های آبگریز را پر نماید.

▪ در حالت b خط سه‌گانه از حالت درگیر شده خارج می‌شود. در این مورد علاوه بر شدن حفره‌های آبگریز موجود در سطح، خط سه‌گانه نیز باید جابه‌جا شود.

بنابراین سد انرژی غلبه کننده برای انتقال از حالت کیسی-بکستر به ونzel به شکل مجموعی از سدهای انرژی گفته شده در دو حالت بالا تعریف می‌شود [۱۳].

۲) انتقال از حالت ونzel به کیسی-بکستر: این مورد نیز می‌تواند از طریق انعقاد^۲ قطرات کیسی-بکستر و ونzel، اعمال پالس‌های کوتاه جریان الکتریکی از طریق پس زمینه رسانا، حرارتدهی و یا ارتعاشات پس زمینه صورت گیرد. در مورد این دسته از انتقالات قطره باید از داخل حفره‌های سطحی بیرون کشیده شده (حالت ونzel) و به حالت معلق بر روی سطح انتقال یابد. بنابراین برای رخ دادن این انتقال باید فرآیند ترشوندگی^۳ قطره رخ دهد [۱۴-۱۷].

شرط لازم جهت رخدادن این پدیده از طریق مقایسه انرژی سینتیکی محرک اعمال شده با انرژی سطحی مورد نیاز جهت رخ دادن ترشوندگی قطره موجود در رژیم ونzel تأمین می‌گردد [۱۷].

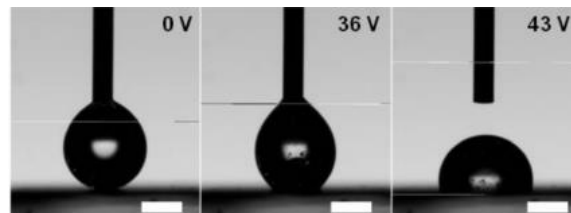
▪ انعقاد قطرات کیسی-بکستر و ونzel: جهت رخ دادن این انتقال ابتدا فرآیند تغییل^۴ قطره مایع در داخل ساختارهای رخ می‌دهد. این فرآیند منجر به ایجاد قطرات ونzel در گوشه‌های ستون‌های سطحی می‌گردد. به تدریج و با پیشرفت این فرآیند، قطره رشد کرده و با ۴ ستون سطحی موجود در اطراف خود تماس پیدا می‌کند. مشاهده شده است که اگر این چنین فرآیند تغییلی در زیر یک قطره نشسته معلق بر روی سطح (در رژیم کیسی-بکستر) رخ دهد، قطره ایجاد شده هم می‌تواند ظرف مدت کوتاهی به حالت کیسی-بکستر انتقال یابد و فرآیند انتقال قطره صورت گیرد (شکل ۷). فرآیند انعقاد یک فرآیند دینامیکی می‌باشد که مقدار قابل توجهی از مایع را می‌تواند جابه‌جا نماید و به علت وجود این انرژی دینامیکی قطره می‌تواند بر سد انرژی جداگانه دو حالت ترشوندگی غلبه نماید [۱۴].



شکل ۷- فرآیند انعقاد قطرات ونzel و کیسی-بکستر به [۱۴].

▪ اعمال پالس‌های کوتاه جریان الکتریکی: در این مورد با استفاده از انرژی اضافی اعمال شده به واسطه پالس کوتاه جریان الکتریکی از طریق

▪ اعمال ولتاژ: یکی از روش‌های پراهمیت جهت کنترل ترشوندگی یک سطح استفاده از پدیده الکتروترشوندگی^۱ می‌باشد. سازوکار در این نوع از ترشوندگی به این شکل می‌باشد که با اعمال ولتاژ بین قطره مایع و پس زمینه رسانا توزیع بارها و دو قطبی‌ها به نحوی دچار تغییر می‌شوند که انرژی بین سطحی کاهش یافته و ترشوندگی سطح افزایش می‌یابد (شکل ۵) و در نتیجه قطره از حالت معلق بر روی سطح به رژیم ونzel انتقال می‌یابد [۹, ۱۰].

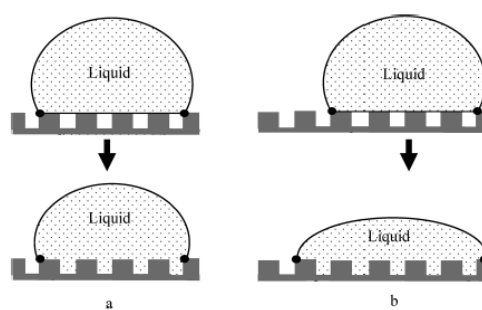


شکل ۵- شماتیک از پدیده الکتروترشوندگی و انتقال حالت ترشوندگی قطره [۱۰].

▪ اعمال ارتعاشات به پس زمینه: سازوکار عمل این محرک نیز مانند اعمال فشار بر قطره توجیه می‌گردد. در واقع اعمال ارتعاشات موجب غلبه بر سد انرژی بین دو حالت کیسی-بکستر و ونzel می‌شود [۱۱, ۱۲].

بازگشت‌پذیری و یا عدم بازگشت‌پذیری این انتقالات با توجه به سد انرژی موجود بین حالت شبیه پایدار و پایدار توجیه می‌گردد. هم چنانیں بیان می‌شود که سدهای پتانسیلی جداگانه حالت‌های کیسی-بکستر و ونzel از پر شدن حفره‌های آبگریز نشأت می‌گیرند که از لحظه انرژی نامطلوب می‌باشد به علاوه این سدهای انرژی می‌توانند شامل بخش‌های مربوط به درگیر شدن خط تماس سه‌گانه خط سه‌گانه نیز باشند.

با توجه به شکل ۶ دو سازوکار کلی می‌توان برای انتقالات ترشوندگی از حالت کیسی-بکستر به ونzel در نظر گرفت:



شکل ۶- سازوکار انتقال ترشوندگی از حالت کیسی-بکستر به ونzel [۱۳].

▪ در حالت a انتقال ترشوندگی تحت خط سه‌گانه درگیر شده رخ می‌دهد که در این حالت هنگامی که خط سه‌گانه درگیر شده است، حالت‌های کیسی-بکستر و ونzel به واسطه سد پتانسیلی از هم جدا شده

² Coalescence

³ Dewetting

⁴ Condensation

¹ Electro-wetting

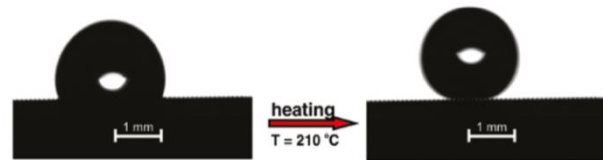
▪ ارتعاشات پس زمینه: ارتعاشات مکانیکی می‌توانند موجب این دسته از انتقالات ترشوندگی نیز بشوند. انرژی سینتیکی ناشی از این ارتعاشات می‌تواند تبدیل به انرژی سطحی شده و بر کار چسبندگی قطره ونzel بر روی سطح غلبه نماید. این پدیده در برگ درختان موجود در طبیعت هم دیده می‌شود که ارتعاشات ناشی از پدیده‌های طبیعی از انتقال قطرات تغییل شده بر روی سطح به حالت ونzel جلوگیری می‌کنند [۱۷].

۳- نتیجه‌گیری

در نهایت می‌توان اشاره نمود که با توجه به اهمیت کاربردی سطوح ابرآبگریز در صنایع گوناگون اطلاع از سازوکار رخ دادن انتقالات ترشوندگی و محرک‌های مؤثر بر آن امری ضروری می‌باشد. به عنوان مثال انتقالات ترشوندگی رخ داده در جهت کیسی-بکستر به ونzel در مورد یک سطح ابرآبگریز می‌تواند منجر به درگیرشدن خط تماس سه‌گانه قطره بر روی سطح شود و در نتیجه سطح خواص مطلوب خود را از دست دهد. هم‌چنین اطلاع از نحوه انتقالات رخ داده در جهت ونzel به کیسی-بکستر نیز در بسیاری از سامانه‌های میکروسیالی کاربردهای خاص خود را دارد می‌باشد.

لایه رسانا موجود بر روی پس زمینه، انتقال از حالت تر شده به حالت کیسی-بکستر رخ می‌دهد. این پالس اعمال شده منجر به افزایش دمای سطح نمونه می‌گردد و باعث ایجاد لایه نازکی از بخار در فصل مشترک مایع-جامد شده و بنابراین قطره به شکل معلق بر روی سطح در می‌آید [۱۵].

▪ حرارت‌دهی: با حرارت‌دهی پس زمینه و یا قطره به طور مستقیم در صورتی که انرژی اعمال شده برای تبخیر مایع به حدی باشد که بتواند لایه‌ای از بخار را با ضخامت معین ایجاد نموده و از تماس قطره با ساختارهای سطحی جلوگیری کند، انتقال رژیم ترشوندگی قطره ممکن می‌باشد (شکل ۸). این پدیده تحت عنوان اثر لیدنفراست^۱ خوانده می‌شود [۱۶].



شکل ۱- فرآیند حرارت‌دهی و انتقال قطره از رژیم ترشوندگی ونzel به کیسی-بکستر [۱۶].

¹ Leidenfrost

۴- مراجع

1. J. Bico, U. Thiele, D. Quere, "Wetting of textured surfaces. colloids and surfaces", 41-46, **2002**.
2. E. Celia, et al., "Recent advances in designing superhydrophobic surfaces", *J. Colloid Interface sci.*, 402, 1-18, **2013**.
3. R. N. Wenzel, "Resistance of solid surfaces to wetting by water. industrial & engineering chemistry", 28 (8), 988-994, **1936**.
4. A. B. D. Cassie, S. Baxter, "Wettability of porous surfaces", *Trans. Faraday Soc.*, 40, 546-551, **1944**.
5. A. Lafuma, D. Quere, "Superhydrophobic states", *Nat. Mater.*, 2, 457-460, **2003**.
6. D. Murakami, H. Jinnai, A. Takahara, "Wetting transition from the cassie-baxter state to the wenzel state on textured polymer surfaces", *Langmuir*, 30(8), 2061-2067, **2014**.
7. B. He, N. A. Patankar, J. Lee, "Multiple equilibrium droplet shapes and design criterion for rough hydrophobic surfaces", *Langmuir*, 19, 4999-5003, **2003**.
8. Y. C. Jung, B. Bhushan, "Dynamic effects of bouncing water droplets on superhydrophobic surfaces", *Langmuir*, 24(12), 6262-6269, **2008**.
9. V. Bahadur, S. V. Garimella, "Electrowetting-based control of static droplet states on rough surfaces", *Langmuir*, 23(9), 4918-4924, **2007**.
10. Z. Han, et al., "Electrowetting control of cassie-to-wenzel transitions in superhydrophobic carbon nanotube-based nanocomposites", *ACS nano*, 3(10), 3031-3036, **2009**.
11. E. Bormashenko, et al., "Resonance cassie-wenzel wetting transition for horizontally vibrated drops deposited on a rough surface", *Langmuir*, 23(24), 12217-12221, **2007**.
12. E. Bormashenko, et al., "Vibration-induced cassie-wenzel wetting transition on rough surfaces", *Appl. phys. lett.*, 90(20), 201917, **2007**.
13. E. Bormashenko, A. Musin, G. Whyman, M. Zinigard, "Wetting transitions and depinning of the triple line", *Langmuir*, 28, 3460-3464, **2012**.
14. C. Dorrer, J. Rühe, "Condensation and wetting transitions on microstructured ultrahydrophobic surfaces", *Langmuir*, 23(7), 3820-3824, **2007**.
15. T. N. Krupenkin, et al., "Reversible wetting-dewetting transitions on electrically tunable superhydrophobic nanostructured surfaces", *Langmuir*, 23(18), 9128-9133, **2007**.
16. G. Liu, et al., "Water droplet motion control on superhydrophobic surfaces: exploiting the wenzel-to-cassie transition", *Langmuir*, 27(6), 2595-2600, **2011**.
17. J. B. Boreyko, C. Chen, "Restoring superhydrophobicity of lotus leaves with vibration-induced dewetting", *Phys. Rev. Lett.*, 103, 174502, **2009**.